

ОСОБЕННОСТИ ОТЖИГА ДИВАКАНСИЙ В КРЕМНИИ, СОДЕРЖАЩЕМ РАЗУПОРЯДОЧЕННЫЕ ОБЛАСТИ

Антонова И. В., Васильев А. В., Панов В. И., Шаймееев С. С.

Проведено детальное исследование характера отжига дивакансий в кремнии n -типа, облученном нейтронами. Подробный анализ данных DLTS экспериментов показал, что отжиг происходит в две стадии. Высокотемпературная стадия ($300 \div 350^\circ\text{C}$, энергия активации $E_a = 1.5 \text{ эВ}$) связана с отжигом дивакансий в матрице кристалла. Низкотемпературная стадия ($100 \div 200^\circ\text{C}$, $E_a = 1.0 \text{ эВ}$) обусловлена подходом дефектов междуузельного типа к дивакансиям, локализованным в ядре РО.

Исследование свойств кристаллов кремния, облученных нейтронами, показало, что наличие сложных дефектных ассоциаций — разупорядоченных областей (РО) и их взаимодействие с точечными дефектами приводят к разнообразным эффектам, наблюдаемым в кристаллах после облучения и в процессе отжига [1]. Несмотря на каскадный характер введения нарушений при столкновении нейтрона с атомом решетки, в нейтронно-облученном кремнии наблюдаются практически все типы точечных дефектов, изученных в кремнии, облученном легкими частицами — электронами или γ -квантами [2]. Точечные дефекты, однако, ведут себя несколько иначе, если они сосредоточены в некоторых локальных областях, как это имеет место, например, в кристаллах после облучения быстрыми нейтронами [1]. Одним из интереснейших объектов является дивакансия, в поведении которой, несмотря на интенсивные исследования [3-6], остается еще много неясного. Это относится, в частности, к характеру отжига дивакансий, содержащихся в ядре и оболочке РО.

В работе [4] сделана попытка интерпретировать данные по зависимости характера отжига дивакансий от типа бомбардирующих частиц (электронов, нейтронов) и дозы облучения (интервал доз $10^{14} \div 10^{19} \text{ см}^{-2}$). Основные особенности отжига дивакансий, обнаруженные по ИК поглощению [3] и спектрам DLTS [4]: 1) резкая стадия при $300 \div 350^\circ\text{C}$ в облученных электронами кристаллах кремния, 2) сдвиг резкой стадии к меньшим ($100 \div 150^\circ\text{C}$) температурам при сильном ($10^{18} \div 10^{19} \text{ см}^{-2}$) нейтронном облучении, 3) размытая ($150 \div 350^\circ\text{C}$) стадия при меньших дозах нейтронного облучения, объяснены в [4] в предположении о различии энергий активации E_a отжига дивакансий, локализованных в трех различных по своим свойствам областях кристалла: ядре РО ($E_a = 1.1 \text{ эВ}$), примесно-дефектной оболочке ($E_a = 1.3 \text{ эВ}$) и «ненарушенной» матрице кристалла ($E_a = 1.5 \text{ эВ}$). В качестве физической причины зависимости $E_a(R)$ в [4] названо наличие упругих деформаций вокруг РО.

В работе [7] развит метод DLTS применительно к кристаллам, содержащим примесно-дефектные неоднородности, в том числе РО. Предлагается, кроме спектра DLTS, снимать еще зависимость высоты пика DLTS, связанного с исследуемым уровнем дефекта, от температуры, при которой пик наблюдается.

Показано [7], что если, например, дивакансию расположены в ядре РО, то они не все будут участвовать в перезарядке, причем доля перезаряжающихся дефектов монотонно уменьшается при увеличении температуры наблюдения пика DLTS.

В данной работе этот метод использован для более тщательного и детального (по сравнению с [4]) исследования отжига дивакансий в нейтронно-об-

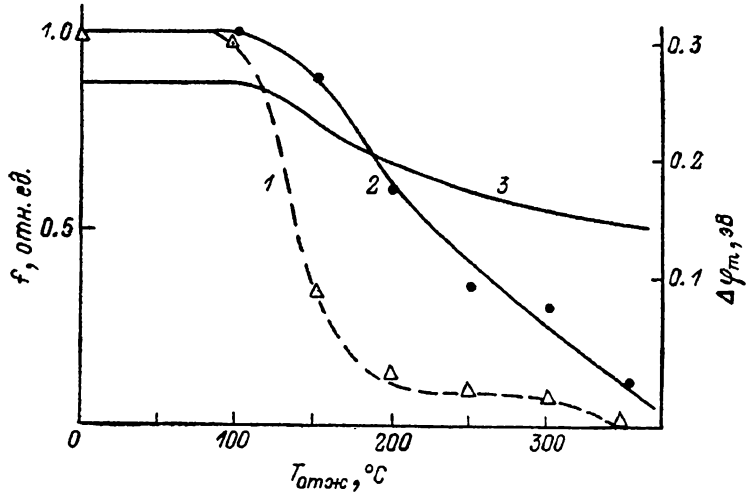
лученном кремнии. Если на всех стадиях отжига распределение дивакансий в РО задается функцией Гаусса

$$N_W(R) = \frac{M}{(2\pi)^{3/2} R_0^3} \exp\left(-\frac{R^2}{2R_0^2}\right), \quad (1)$$

то, как показано в [7], зависимость измеряемой концентрации дивакансий N от температуры наблюдения T_n представляется в виде

$$\ln N = a - bT_n, \quad (2)$$

где $a=a(M, N_{PO})$, $b=b(M, R_0, N_D)$, N_{PO} — концентрация РО, N_D — концентрация доноров. Измеряя зависимость $N(T_n)$ на каждой стадии отжига, получаем среднее число дивакансий в РО M и характерный размер R_0 распределения дивакансий в РО в зависимости от температуры отжига $T_{отж.}$.



Изохронный отжиг полного числа дивакансий в РО (1), пика DLTS, соответствующего уровню дивакансии $E_c=0.39$ эВ (2), и максимального потенциала $\Delta\varphi_{\max}$, создаваемого разупорядоченной областью (3).

Расчет: штриховая кривая — по формуле (3), точки — по методике [2].

Были исследованы образцы кремния n -типа с концентрацией фосфора $3.5 \cdot 10^{15} \text{ см}^{-3}$, выращенные по методу Чохральского. Доза облучения нейтронами реактора (при температуре, близкой к комнатной) составляла $4.4 \cdot 10^{14} \text{ см}^{-2}$. Изохронный (10 мин) отжиг проводился в интервале температур $100 \div 350^\circ\text{C}$.

Полученные результаты состоят в следующем.

1. Кривые отжига уровней дивакансий $E_c=0.23$ и $E_c=0.39$ эВ совпадают с кривыми, полученными в [4]. На рисунке (кривая 2) приведен отжиг амплитуды пика DLTS, соответствующего уровню $E_c=0.39$ эВ; кривая демонстрирует отсутствие резкой стадии отжига уровня $E_c=0.39$ эВ.

2. Расчет по изложенной выше методике показывает, что полное число дивакансий M в одной усредненной РО до отжига составляет $M_0=95$, а параметр $R_0=220 \text{ \AA}$. С ростом $T_{\text{отж.}}$ R_0 практически не меняется. Зависимость величины $f=M/M_0$ от температуры отжига представлена на рисунке (кривая 1). Видно наличие двух достаточно четко выраженных стадий. Первая стадия ($100 \div 200^\circ\text{C}$), на которой отжигается $\sim 90\%$ полного числа дивакансий, совпадает со стадией отжига дивакансий, наблюдавшейся по ИК поглощению при больших дозах нейтронного облучения [3]. Вторая стадия ($300 \div 350^\circ\text{C}$, около $\sim 10\%$ дивакансий) соответствует интервалу температур отжига дивакансий (уровни $E_c=0.23$ и $E_c=0.39$ эВ) в электронно-облученном [8] и уровни дивакансии $E_c=0.23$ эВ в нейтронно-облученном кремни [4]).

3. Путем совместного решения уравнения Пуассона и электронейтральности с учетом (1) и полученных для каждой температуры отжига значений

M и R_0 были рассчитаны потенциал РО $\Delta\varphi$ для комнатной температуры и изменение $\Delta\varphi_{max}$ в процессе отжига (кривая 3).

Зависимость полного числа дивакансий в одной РО от температуры имеет четко выраженный двухстадийный характер и может быть описана следующим образом:

$$f = f_1 \exp\left[-\beta_0 t \exp\left(-\frac{E'_a}{kT}\right)\right] + f_2 \exp\left[-\beta_0 t \exp\left(-\frac{E''_a}{kT}\right)\right], \quad (3)$$

где f — доля неотожженных дивакансий; $E'_a=1.0$, $E''_a=1.5$ эВ — энергии активации отжига на первой и второй стадиях отжига соответственно; t и T — время и температура отжига; β_0 — частотный фактор ($\beta_0=1.1 \cdot 10^9$ с⁻¹ [5]); E''_a была выбрана в соответствии с известным значением для случая электронного облучения [5], т. е. равномерного распределения дивакансий по кристаллу, а значение E'_a подбиралось так, чтобы рассчитанная по (3) доля f (см. рисунок, штриховая кривая) наилучшим образом совпала с экспериментом; $f_1=0.9$, $f_2=0.1$ — доли дефектов, отжигающихся с разными энергиями активации.

Из сравнения кривых 1 и 2 на рисунке видно, что при температурах, при которых происходит существенное уменьшение полного числа дивакансий в РО (по кривой 1), изменение концентрации электрически активных дивакансий N_w , по измерениям DLTS, мало. Принимая во внимание тот факт, что N_w соответствует дефектам, расположенным в матрице и на периферии РО, можно сделать вывод, что на первой стадии отжига исчезают в основном дивакансы, локализованные в ядре РО.

Таким образом, представленные в данной работе результаты свидетельствуют в пользу того, что дивакансы в нейтронно-облученном кремнии отжигаются с двумя энергиями активации, одна из которых (1.5 эВ) соответствует отжигу дивакансий, расположенных в матрице кристалла, другая (1.0 эВ) — отжигу дивакансий, локализованных в ядре РО. Тогда размытость стадии отжига уровня $E_c=0.39$ эВ объясняется изменением доли заряженных дивакансий, дающих вклад в сигнал DLTS. По мере отжига РО полное число дивакансий уменьшается. Это приводит к уменьшению разности потенциалов (кривая 3) между РО и матрицей, и, следовательно, доля заряженных дивакансий, дающих вклад в сигнал DLTS, возрастает. Эти два противоположных процесса и приводят к размыванию стадии отжига. Аналогично можно объяснить и результаты, полученные по ИК измерениям [3].

Возможные причины уменьшения энергии активации отжига E_a дивакансий в ядре РО (по сравнению с матрицей кристалла): I) наличие деформаций в пределах РО [4, 6]; II) зависимость E_a от зарядового состояния дивакансий [как показано в [9], константа скорости отжига дефектов зависит от их зарядовых состояний (или положения уровня Ферми) главным образом вследствие того, что при отжиге дефекта исчезают связанные с ним уровни в запрещенной зоне и захваченные на них электроны должны перейти в зону проводимости]; III) различные механизмы отжига дивакансий на разных стадиях. В работе [10] показано, что, кроме «обычного» термического спада дефектного комплекса, возможно его исчезновение при подходе противоположного компонента пары Френкеля. Этот механизм был успешно использован в работе [11] для интерпретации особенностей отжига сложных дефектов.

Причина I, по-видимому, не реализуется, поскольку если деформационные поля приводят к изменению E_a , то, как показано в [6], изменение энергии активации должно быть пропорционально концентрации дивакансий. Другими словами, E_a должна отслеживать зависимость N_w от расстояния до центра РО (1). Кроме того, по мере отжига деформационные напряжения, очевидно, должны уменьшаться. В обоих случаях энергия активации будет иметь некоторый непрерывный спектр значений, что не согласуется с полученными результатами.

Оценки вероятности нахождения дивакансий в разных зарядовых состояниях показывают, что на стадии 300–350 °C практически все дивакансы, локализованные в ядре РО, уже при комнатной температуре находятся в состоянии W^0 , которое не меняется при повышении температуры отжига. Эти данные говорят о нереализуемости причины II.

Наиболее вероятной представляется причина III — отжиг дивакансий в ядре РО путем подхода дефектов междуузельного типа. Некоторые из междуузельных комплексов, локализованных в примесно-дефектной оболочке РО, могут отжигаться при относительно невысоких температурах (~ 100 °C). При этом освобождаются подвижные междуузельные атомы (примесные или собственные). Диффундируя к ядру, они взаимодействуют с дивакансиями, приводя к уменьшению их числа. Количество провзаимодействовавших дивакансий будет тем больше, чем выше их концентрация. Следовательно, вероятность встречи диффундирующего междуузельного атома с дивакансиями, локализованными в ядре РО, существенно выше, чем с дивакансиями, расположенными вне. Оценки показывают, что через ядро при развале междуузельных комплексов, расположенных на периферии РО, пройдет не менее 30 % междуузельных атомов, т. е. вероятность встречи междуузельных атомов с дивакансиями в ядре достаточно велика. Примером междуузельного комплекса, развал которого приводит к отжигу дивакансий, может служить дефект, состоящий из двух рядом расположенных междуузельных атомов, который, согласно данным ЭПР, наблюдается в кремнии, облученном нейтронами [12], и отжигается при температуре 400 К [13].

Таким образом, дивакансию в кремнии, облученном нейтронами, отжигаются в две четко выраженные стадии, одна из которых имеет место при 300 ± 350 ($E_a = 1.5$ эВ), а другая — при 100 ± 200 °C ($E_a = 1.0$ эВ). Наличие стадий обусловлено двумя различными механизмами отжига. Механизм отжига при 100 ± 200 °C заключается, по-видимому, во взаимодействии дивакансий и междуузельных атомов, высвободившихся при отжиге комплекса междуузельного типа, в результате чего уменьшается концентрация дивакансий во всем объеме кристалла. Но, в силу того что вероятность взаимодействия значительно выше в ядре РО, где в основном сосредоточены диваканси, наиболее существенное изменение концентрации дивакансий имеет место именно в ядре РО. Размытость стадии отжига дивакансий, наблюдавшихся по спектрам DLTS или ИК поглощения, обусловлена изменением с температурой отжига доли дивакансий в различных зарядовых состояниях, дающих вклады в сигналы DLTS или ИК.

Авторы благодарят Ю. С. Смирнова за плодотворные дискуссии.

Список литературы

- [1] Вопросы радиационной технология полупроводников / Под ред. Л. С. Смирнова. Новосибирск, 1980. 292 с.
- [2] Васильев А. В., Смагулова С. А., Шаймеев С. Г. // ФТП. 1982. Т. 16. В. 11. С. 1983—1986.
- [3] Newman R. G., Totterdell D. H. J. // J. Phys. C: St. Phys. 1975. V. 8. P. 3944—3954.
- [4] Васильев А. В., Смагулова С. А., Смирнов Л. С. // ФТП. 1986. Т. 20. В. 3. С. 561—564.
- [5] Ewwaray A. O., Sun E. // J. Appl. Phys. 1976. V. 47. N 9. P. 3776—3780.
- [6] Михнович В. В. // ФТП. 1984. Т. 18. В. 9. С. 1670—1673.
- [7] Антонова И. В., Васильев А. В., Панов В. И., Шаймеев С. Г. // ФТП. 1988. Т. 22. В. 6. С. 998—1003.
- [8] Kimerling L. C. // Rad. Eff. Semicond. Inst. Phys. Ser. N 31. Bristol—London, 1977. P. 221—230.
- [9] Баранов А. И., Васильев А. В., Кулешов В. Ф., Вяткин А. Ф., Смирнов Л. С. // Препринт. Черноголовка, 1985. 50 с.
- [10] Васильев А. В. // ФТП. 1972. Т. 6. В. 4. С. 603—608.
- [11] Баранов А. И., Смирнов Л. С. // Препринт ИФП СО АН СССР. Новосибирск, 1978. 48 с.
- [12] Lee Y. H., Corbett J. W. // Sol. St. Sommum. 1974. V. 15. N 11/12. P. 1781—1784.
- [13] Lee Y. H., Gerasimenko N. N., Corbett J. W. // Phys. Rev. B. 1976. V. 14. N 10. P. 4506—4520.